

01;03

Расчет наката волн на пологий откос

© М.А. Шерменева, И.В. Шуган

Научный центр волновых исследований Института общей физики РАН
им. А.М. Прохорова, Москва
E-mail: sher@orc.ru

Поступило в Редакцию 23 мая 2005 г.
В окончательной редакции 8 сентября 2005 г.

Исследуется накат длинных гравитационных поверхностных волн на пологий наклонный берег в рамках приближения мелкой воды. Построено аналитическое решение для возвышения свободной поверхности жидкости в границах применимости модели.

PACS: 46.40.Cd

Накатом поверхностных волн на берег называется наибольшее расстояние, на которое вода заходит на берег. Исследование актуально при определении границы затопления суши в целях защиты от цунами. Кроме того, даже небольшие по своей амплитуде возмущения могут причинять существенный ущерб прибрежной зоне. Аналитическое исследование наката проведено в [1,2]. Пелиновским в [2] получена следующая аналитическая формула для примерного вычисления наката в случае наклонного дна ($h \equiv sx$, где x — удаленность от береговой линии, а h — глубина):

$$H_0 = 2a_0(2h_0/sl_0)^{1/2}. \quad (1)$$

Здесь a_0 и l_0 — соответственно амплитуда и длина волны на глубине h_0 ; H_0 — накат волн на берег. Кроме того, показано, что метод применим только для относительно крутых откосов, удовлетворяющих условию $s > 14.03a_0^{2/5}h_0^{3/5}l_0^{-1}$. С другой стороны, на очень пологих откосах (при $s < 10.4a_0^{2/5}h_0^{3/5}l_0^{-1}$) происходит обрушение волн в районе береговой линии. В настоящей работе предлагается метод, позволяющий вычислить накат для более широкого спектра параметров, чем это сделано в [2].

Мы предполагаем движение волн периодическим, а дно равномерно наклонным. Берег расположен при $x < 0$, вода — $x > 0$. Накат — абсцисса точки пересечения возвышения свободной поверхности с линией дна, которая обозначена сплошной жирной линией на рис. 1, *a, b*. Используем безразмерные величины

$$x = \frac{x'}{l'_0}, \quad z = \frac{z'}{h'_0}, \quad t = \frac{g^{1/2} h'_0{}^{1/2}}{l'_0} t',$$

$$\eta = \frac{\eta'}{a'_0}, \quad \varphi = \frac{h'_0}{a'_0 l'_0 g^{1/2} h'_0{}^{1/2}} \varphi', \quad h = \frac{h'}{h'_0}, \quad (2)$$

где физическими являются переменные со штрихами, причем через g — ускорение свободного падения, z — вертикальная координата, t — время, $\varphi(x, z, t)$ — потенциал скорости, η — возвышение свободной поверхности. В безразмерных переменных уравнения, описывающие нелинейную динамику волн в несжимаемой жидкости (уравнение Лапласа, кинематическое и динамическое условия и условие на дне) принимают следующий вид:

$$\mu^2 \varphi_{xx} + \varphi_{zz} = 0, \quad -h(x) < z < \varepsilon \eta(x, t) \quad (3)$$

$$\eta_t + \varepsilon \varphi_x \eta_x - \mu^{-2} \varphi_z = 0, \quad z = \varepsilon \eta(x, t), \quad (A) \quad (4)$$

$$\varphi_t + \frac{1}{2} \varepsilon (\varphi_x^2 + \mu^{-2} \varphi_z^2) + \eta = 0, \quad z = \varepsilon \eta(x, t), \quad (B) \quad (5)$$

$$\varphi_z = -\mu^2 h_x \varphi_x, \quad z = -h(x). \quad (6)$$

Далее вводятся два малых параметра: нелинейность $\varepsilon = \frac{a'_0}{h'_0}$ и дисперсия $\mu = \frac{h'_0}{l'_0}$. Разлагая потенциал φ по степеням вертикальной координаты $\varphi(x, z, t) = \sum_{m=0}^{\infty} (z + h(x))^m F_m(x, t)$, мы получаем следующее уравнение на функцию потенциала на дне $f(x, t) \equiv F_0(x, t)$ (более подробно вывод

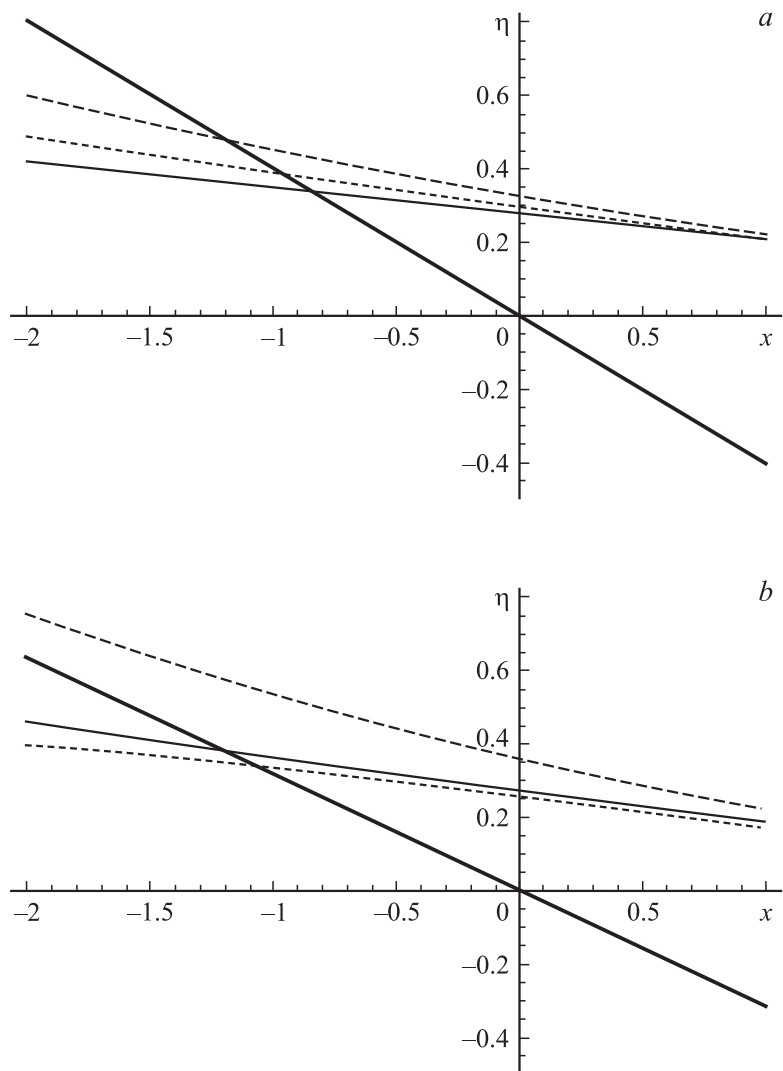


Рис. 1. Накат для параметров: *a* — $a'_0 = 0.1$; $h'_0 = 0.8$; $l'_0 = 15$, $s' = 0.32$;
b — $a'_0 = 0.1$; $h'_0 = 0.8$; $l'_0 = 15$, $s' = 0.4$.

и решение уравнений содержатся в [3]):

$$\begin{aligned}
 & -f_{tt} + sf_x + sx f_{xx} + (-f_{xx}f_t - 2f_x f_{xt})\varepsilon \\
 & - s^2 \left(sf_x - x f_{xtt} + 3sx f_{xx} - \frac{1}{2}x^2 f_{xxt} + \frac{3}{2}sx^2 f_{xxx} + \frac{1}{6}sx^3 f_{xxxx} \right) \mu^2 \\
 & + s^4 \left(sf_x - x f_{xtt} + 5sx f_{xx} - \frac{3}{2}x^2 f_{xxt} + 5sx^2 f_{xxx} - \frac{1}{2}x^3 f_{xxxx} \right. \\
 & \left. + \frac{5}{3}sx^3 f_{xxxx} - \frac{1}{24}x^4 f_{xxxxt} + \frac{5}{24}sx^4 f_{xxxxx} + \frac{1}{120}sx^5 f_{xxxxxx} \right) \mu^4 \\
 & + \left(-f_{tt}f_{xt} + 3sf_t f_{xt} - f_t f_{xtt} + 3sf_t f_{xx} + 4sx f_{xx} f_{xt} - x f_{tt} f_{xxt} \right. \\
 & \left. + 3sx f_x f_{xxt} - \frac{1}{2}sx^2 f_{xx} f_{xxt} - x f_t f_{xxt} + 3sx f_t f_{xxx} + sx^2 f_{xt} f_{xxx} \right. \\
 & \left. + sx^2 f_x f_{xxx} + \frac{1}{2}sx^2 f_t f_{xxx} \right) \varepsilon \mu^2 + \frac{3}{2}f_x^2 f_{xx} \varepsilon^2 = 0. \quad (7)
 \end{aligned}$$

Уравнение (7) относится к классу уравнений Буссинеска. Более подробную информацию об этих уравнениях можно найти в [4,5]. Мы полагаем, что решение уравнения (7) периодически во времени и соответствует стоячим волнам. В [3] предложен метод аналитического решения (7) в виде отрезка ряда Фурье

$$\begin{aligned}
 f(x, t) = & \left[S_{00}^1(x) + S_{20}^1(x)\varepsilon^2 + S_{02}^1(x)\mu^2 + S_{04}^1(x)\mu^4 \right] \sin \omega t \\
 & + \left[S_{10}^2(x)\varepsilon + S_{12}^2(x)\varepsilon\mu^2 + S_{30}^2(x)\varepsilon^3 \right] \sin 2\omega t \\
 & + S_{20}^3(x)\varepsilon^2 \sin 3\omega t + S_{30}^4(x)\varepsilon^3 \sin 4\omega t, \quad (8)
 \end{aligned}$$

который подставляется в уравнение. Найдены его коэффициенты, которые представляют собой полиномы от функций Бесселя. Через потенциал скорости на дне f получается выражение для возвышения

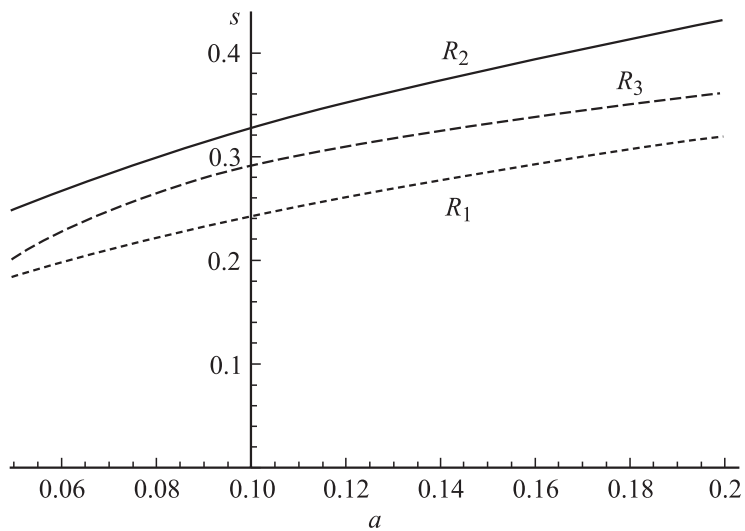


Рис. 2. Области применимости различных методов оценки наката. Здесь a — амплитуда, а s — уклон дна.

свободной поверхности η также в виде подобного отрезка ряда Фурье

$$\begin{aligned} \eta(x, t) = & C_{10}^0(x)\varepsilon + C_{12}^0(x)\varepsilon\mu^2 + C_{30}^0(x)\varepsilon^3 \\ & + \left[C_{00}^1(x) + C_{20}^1(x)\varepsilon^2 + C_{02}^1(x)\mu^2 + C_{04}^1(x)\mu^4 \right] \cos \omega t \\ & + \left[C_{10}^2(x)\varepsilon + C_{12}^2(x)\varepsilon\mu^2 + C_{30}^2(x)\varepsilon^3 \right] \cos 2\omega t \\ & + C_{20}^3(x)\varepsilon^2 \cos 3\omega t + C_{30}^4(x)\varepsilon^3 \cos 4\omega t. \end{aligned} \quad (9)$$

Обозначим через η_0 , η_1 и η_2 следующие функции:

$$\eta_0(x, t) = C_{00}^1(x) \cos \omega t, \quad (10)$$

$$\eta_1(x, t) = C_{10}^0(x)\varepsilon + \left[C_{00}^1(x) + C_{02}^1(x)\mu^2 \right] \cos \omega t + C_{10}^2(x)\varepsilon \cos 2\omega t, \quad (11)$$

$$\eta_2(x, t) = \eta(x, t). \quad (12)$$

Теперь рассмотрим графики функций возвышения свободной поверхности, которые используются для вычисления наката (рис. 1, *a*, *b*). Приближенное решение η_0 показано крупным пунктиром, η_1 — мелким пунктиром, η_2 — сплошной линией. На рис. 1, *a* видно, что результат измерения наката при помощи η_2 близок к оценке Пелиновского η_0 . Рис. 1, *b* сделан для тех значений параметров, для которых метод Пелиновского неприменим, в то время как кривые η_1 и η_2 позволяют сделать примерную оценку наката.

На рис. 2 показано, при каких значениях параметров метод применим. Для определенности мы положим $l'_0 = 15$ m на глубине $h'_0 = 0.8$ m. В области R_1 идет обрушение волн и найти точку пересечения возвышения свободной поверхности с береговой линией в принципе нельзя; R_2 — область тех значений, при которых можно посчитать накат методом Пелиновского; R_3 — та область, где метод Пелиновского уже неприменим, но накат можно вычислить при помощи уравнений Буссинеска. Сравнение полученных результатов с аналитическим решением [1] произведено в [6].

Работа выполнена при поддержке Российского фонда фундаментальных исследований (проект 05–02–16384).

Список литературы

- [1] Carrier G.F., Greenspan H.P. // J. Fluid Mech. 1958. V. 4. P. 97–109.
- [2] Мазова P.X., Пелиновский E.H. Линейная теория набегания волн на берег. Препринт ИПФ АН СССР. 1981. N 23.
- [3] Shermenev A.M., Shermeneva M.A. Long periodic waves on an even beach. Physical Review E. 2000. V. 61. N 5. P. 6000–6002.
- [4] Madsen P.A., Schaffer H.A. // Phil. Trans. R. Soc. Lond. 1998. A 8. P. 441–455.
- [5] Mei C.C., Le M'ehaut'e B. // J. Geophysical. Res. 1966. V. 71. P. 393–400.
- [6] Shermenev A.M. // Geophys. Astrophys. Fluid Dynamics. V. 94. P. 1–14.